



## تأثیر خواص بافتی بر ویژگی‌های مهندسی کنگلومراهای منطقه فامنین،

### شمال خاوری استان همدان

غلامرضا خانلری<sup>۱\*</sup>، مجتبی حیدری<sup>۱</sup>، مهران نوری<sup>۲</sup>، بهروز رفیعی<sup>۱</sup>، موسی اسفندیاری<sup>۳</sup>

پذیرش مقاله: ۹۳/۳/۲۷

دریافت مقاله: ۹۲/۱۲/۶

#### چکیده

برای درک ارتباط میان ویژگی‌های مهندسی با ویژگی‌های سنگ‌شناسی، تعداد هشت نمونه از کنگلومراهای سازند قم در منطقه فامنین واقع در شمال‌خاور استان همدان گردآوری شد. نمونه‌ها برای تعیین مقاومت فشاری تکمحوری، شاخص مقاومت بار نقطه‌ای، مدول الاستیسیته، تخلخل و چگالی خشک و اشیاع تحت آزمون‌های آزمایشگاهی قرار گرفتند. همچنین برش‌های نازک میکروسکوپی نمونه‌ها، برای تعیین ویژگی‌های سنگ‌شناسی، پارامترهای بافتی و کانی‌شناسی، مورد بررسی قرار گرفتند. در این پژوهش بر پایه نتایج تجزیه و تحلیل‌های آماری، روابط پیش‌بینی کننده چندمتغیره برای برآورد ویژگی‌های فیزیکی و مکانیکی با به کارگیری ویژگی‌های سنگ‌شناسی و بافتی توسعه داده شده‌اند. این مطالعه نشان دهد که تاثیر پارامترهای بافتی بر روی ویژگی‌های مهندسی، مهم‌تر از ترکیب کانی‌شناسی می‌باشد. همچنین مشخص گردید که آرایش هم‌جوار مختلف که تاثیر چشمگیری بر روی ویژگی‌های فیزیکی و مکانیکی نمونه‌ها دارند. در مطالعه حاضر رگرسیون چندمتغیره خطی در چهار گام مختلف، شامل ترکیبات مختلفی از ویژگی‌های سنگ‌شناسی به عنوان پارامترهای ورودی برای هر ویژگی مهندسی، مورد استفاده قرار گرفته است. سرانجام بهترین رابطه‌ها برای پیش‌بینی ویژگی‌های مهندسی ارائه شده است.

کلید واژه‌ها: کنگلومرا، ویژگی‌های سنگ‌شناسی و مهندسی، رگرسیون چندمتغیره خطی، سازند قم، فامنین، همدان

۱. عضو هیئت علمی گروه زمین‌شناسی دانشگاه بوعلي سينا، همدان، Khanlari\_reza@yahoo.com

۲. دانشجوی کارشناسی ارشد زمین‌شناسی مهندسی گروه زمین‌شناسی دانشگاه بوعلي سينا، همدان

۳. کارشناس ارشد، رسوب‌شناسی و سنگ‌شناسی رسوبی، دانشگاه بوعلي سينا، همدان

\* مسئول مکاتبات

سهولت بیشتری انجام می‌پذیرد، بنابراین تعیین خواص مهندسی سنگ با استفاده از ویژگی‌های بافتی و سنگ‌شناسی ضروری به نظر می‌رسد. ویژگی‌های سنگ‌شناسی که ویژگی‌های فیزیکی و مکانیکی را تحت تاثیر قرار می‌دهند شامل اندازه دانه، شکل دانه، درجه درهم قفل شدگی دانه‌ها، نوع تماس‌ها، آرایش چگالی، آرایش هم‌جوار، ترکیب کانی‌شناسی، مقدار و نوع سیمان و زمینه است. ویژگی‌های یاد شده را می‌توان به آسانی با مطالعه برش‌های نازک در آزمایشگاه اندازه‌گیری نمود. پاره‌ای از پارامترهای مهم در طراحی‌های مهندسی که به سختی به دست می‌آیند را می‌توان به طور غیرمستقیم با بکارگیری روابط میان ویژگی‌های آماری و دینامیکی سنگ‌ها به دست آورد (Sarkar et al., 2009).

آنالیز به شیوه رگرسیون تکمتغیره و چندمتغیره یکی از روش‌هایی است که به طور موفقیت‌آمیزی برای توسعه مدل‌های پیش‌بینی کننده ویژگی‌های مهندسی سنگ‌های گوناگون Ulusay et al., 2001; Gunes (Gong and Zhao 2007; Yilmaz et al., 2007). در این پژوهش ویژگی‌های سنگ‌شناسی و بافتی شامل ترکیب کانی‌شناسی دانه‌ها و مقدار زمینه، میانگین اندازه دانه‌ها، شکل دانه‌ها، ماهیت تماس بین دانه‌ها، نوع تماس بین دانه‌ها و آرایش دانه‌ها در کنگلومراهای سازند قم مورد بررسی قرار گرفته است. سپس داده‌های به دست آمده از مطالعات بافتی و آزمایش‌های ژئوتکنیکی با استفاده از رگرسیون تکمتغیره خطی و رگرسیون چندمتغیره خطی مورد تجزیه و تحلیل قرار گرفتند. سرانجام با بکارگیری داده‌های حاصل از مطالعه برش‌های نازک که به طور چشمگیری با ویژگی‌های فیزیکی، مکانیکی و نتایج آزمایش‌های ژئوتکنیکی ارتباط داشتند، مدل‌های پیش‌بینی کننده تجربی برای برآورد ویژگی‌های مهندسی، ارائه شده است.

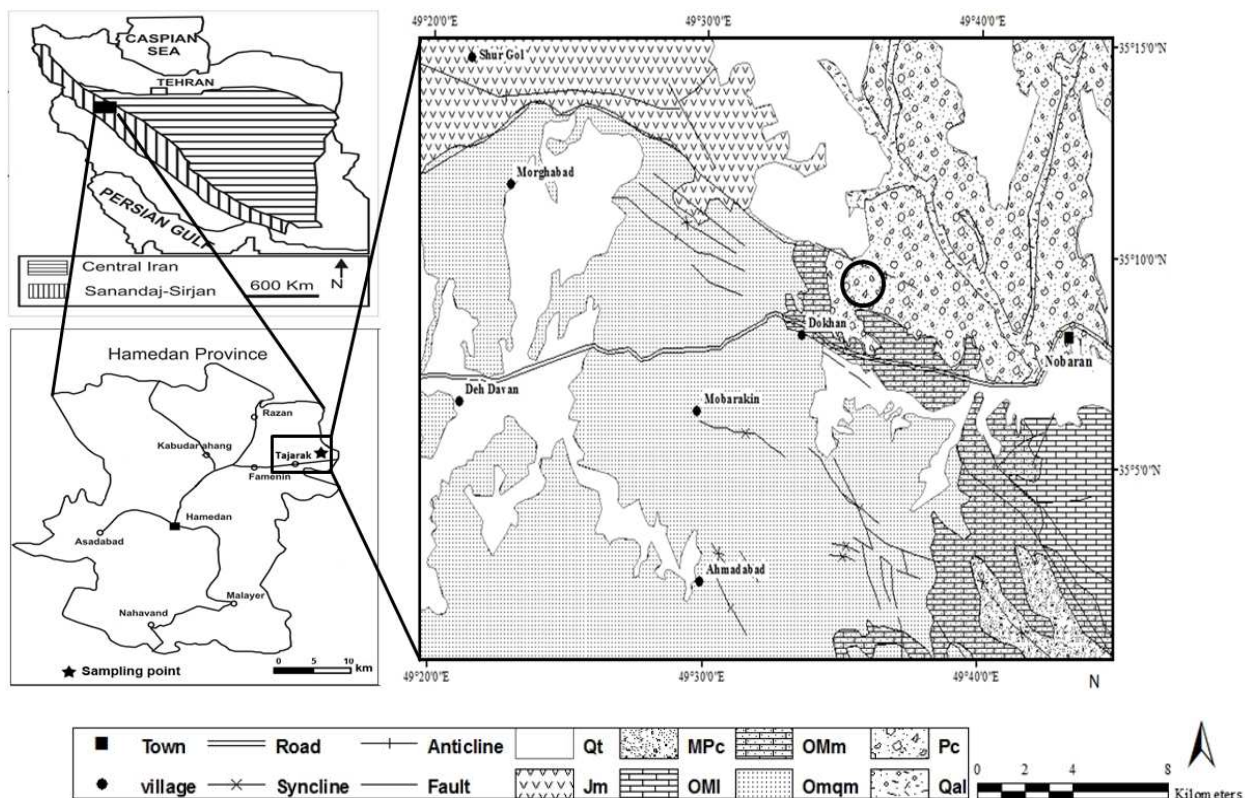
**۲. موقعیت جغرافیایی و زمین‌شناسی منطقه مورد مطالعه**  
منطقه مورد مطالعه، (تجرک) در ۴۰ کیلومتری جاده فامنین - ساوه و در مسیر بزرگراه همدان - ساوه واقع است (شکل ۱). این محدوده مطالعاتی بین طول جغرافیایی  $۴۹^{\circ} ۲۳'$  و  $۴۹^{\circ} ۲۰'$  می‌باشد.

### ۱. مقدمه

سنگ‌های تخریبی آواری گروه متنوعی از سنگ‌های رسوبی را تشکیل می‌دهند که از رسنگ‌های دانه‌ریز، تا ماسه‌سنگ‌ها و کنگلومراهای دانه‌درشت در تغییر هستند. کنگلومراها عمدتاً از خرددها یا قطعاتی با اندازه بزرگ‌تر از ۲ میلی‌متر تشکیل شده‌اند که از سنگ‌های قدیمی‌تر (آذرین درونی و بیرونی، دگرگونی و رسوبی) منشاء گرفته‌اند. دانه‌های آواری بر اثر فرآیندهای هوازدگی شیمیایی و فیزیکی از خاستگاه خود آزاد شده و سپس به حوضه رسوبی حمل و در آنجا ته‌نشین می‌شوند. بافت سنگ‌های تخریبی آواری بازتاب کننده فرآیندهای رسوب‌گذاری است، از این رو برای تعیین خصوصیات بافتی آنها، بسیاری از رسوبات عهد حاضر مورد مطالعه قرار گرفته‌اند. تغییرات زیاد در ویژگی‌های فیزیکی و مکانیکی سنگ‌های آواری به تغییرات مشخصه‌های بافتی (Howarth and Rowlands, Bell, 1978; Shakoor and Bonelli, 1991; 1986 نسبت داده شده‌اند). علاوه بر ویژگی‌های شاخص مهندسی، ویژگی‌های سنگ‌شناسی و بافتی نیز در پیش‌بینی ویژگی‌های فیزیکی و مکانیکی از اهمیت ویژه‌ای برخوردارند (Zorlu et al., 2008). تعیین دقیق برخی از خواص شاخص مهندسی سنگ‌ها، به زمان و هزینه قابل توجهی برای جمع‌آوری و آماده‌سازی نمونه‌های مناسب و آزمون‌های آزمایشگاهی نیاز دارد. علاوه بر آن نتایج حاصل، وا逼تگی شدیدی به ابعاد نمونه، نحوه بارگذاری، خطاهای انسانی، عوامل خارجی و غیره دارد. با توجه به موارد گفته شده و همچنین عدم امکان تهیه نمونه مناسب از سنگ‌های ضعیف، متورق و خردشده، برای به حداقل رساندن زمان و هزینه می‌توان از روابط تجربی که به طور گستردگی برای برآورد خواص پیچیده سنگ‌ها از داده‌های حاصل از روش‌های آسان بهره می‌گیرد، استفاده نمود. هدف از این مطالعه، تعیین خواص مهندسی سنگ کنگلومرا، با استفاده از ارتباط میان ویژگی‌های بافتی و سنگ‌شناسی سنگ با خصوصیات مهندسی آن می‌باشد. با توجه به اینکه تعیین ویژگی‌های بافتی و سنگ‌شناسی نسبت به خصوصیات فیزیکی و مکانیکی، به زمان و هزینه کمتری نیاز دارد و با

مارنی سازند قم، سبب شده تا نواحی یاد شده ژرف‌ترین بخش دریای قم دانسته شوند (آقاباتی، ۱۳۸۵). مجموعه سنگ‌های رسوبی الیگومیوسن در منطقه مورد مطالعه شامل طیف گسترده‌ای از واحدهای ماسه‌سنگی و کربناته می‌باشد که از لحاظ استحکام از سنگ‌های به طور کامل تحکیم یافته و صخره‌ساز تا رسوب‌های سست و منفصل را دربر می‌گیرد (شکل ۱). در برخی از برش‌های مطالعه شده مرز زیرین سنگ‌های همارز سازند قم را سازند قرمز زیرین با سن الیگومیوسن تشکیل می‌دهد. در برخی مکان‌ها نیز لایه‌های الیگومیوسن به صورت دگرگشیب و یا گسله بر روی رسوبات قدیمی‌تر (کرتاسه و یا ژوراسیک) قرار گرفته است (ساداتی و همکاران، ۱۳۸۴).

و عرض جغرافیایی  $35^{\circ}0'0''$  و  $35^{\circ}0'0''$  قرار گرفته است. منطقه تجرک از نظر تقسیم بندی زون‌های زمین‌شناسی ایران در زون ایران مرکزی قرار می‌گیرد (آدابی، ۱۳۶۶). سازند قم در این منطقه با سن اولیگومیوسن بیشترین رخنمون را دارد. از نظر سنگ‌شناسی این سازند در منطقه مورد نظر دربردارنده هستند که در آن‌ها سازند قم گسترش چشمگیری دارد. از منطقه‌ی قم به سوی باخته و شمال باخته، سازند قم در مناطق ساوه و همدان گسترش و سtribe زیادی دارد، به طوری که در باخته ساوه، سtribe این سازند به ۳۶۰۰ متر می‌رسد و یا در شمال همدان (آب‌گرم، رزن، نوبران) نهشته‌های سtribe



شکل ۱. موقعیت جغرافیایی و نقشه زمین‌شناسی منطقه تجرک (نقشه زمین‌شناسی ۱:۲۵۰۰۰۰ با اصلاحات)، (بلورچی، ۱۳۵۸).  
Pc: نهشته‌های کنگلومرا، OMm: مارن، آهک ماسه‌ای و آهک مارنی، MPc: کنگلومرا و ماسه سنگ قرمز، Qt: آبرفت‌ها و تراس‌های آبرفتی، Omqm: پادگانه‌های آبرفتی، Qal: مارن، ماسه سنگ و آهک، Jm: رسوبات مارنی و آهک مارنی.

خفیف اسلیتی

سنگ‌های کنگلومرای مورد مطالعه با استفاده از میکروسکوپ پلاریزان مطالعه گردید. مقادیر اجزا تشکیل دهنده کنگلومراهای مورد مطالعه با شمارش دانه‌های هر نمونه به روش معرفی شده توسط Hutchinson (1974). مشخص گردیده است. مطالعات بافتی کنگلومراهای منطقه به دو روش مطالعه نمونه‌های دستی و مطالعه برش‌های نازک انجام شده است. مطالعه پارامترهای میانگین اندازه دانه‌ها و گردشگی دانه‌ها به دلیل درشت‌دانه بودن سنگ، بر روی نمونه‌های دستی انجام شده است (شکل ۲). مطالعه برخی از پارامترها شامل ماهیت و انواع تماس بین دانه‌ها و آرایش دانه‌ها بر روی برش‌های نازک انجام شده است. برای تعیین میانگین اندازه دانه‌ها، نمونه‌های دستی با ابعاد  $140\text{mm} \times 54\text{mm}$  و با سطح صیقلی تهیه شده‌اند (شکل ۲). سپس بیش از ۳۰۰ ذره در هر نمونه در امتداد خط‌های پیمایش گوناگون با خطکش اندازه‌گیری شده‌اند.

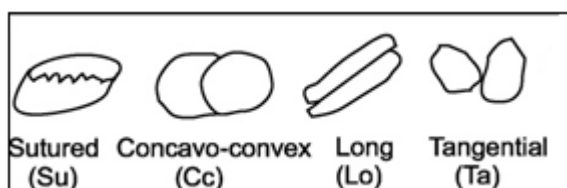
### ۳. مواد و روش‌ها

در این تحقیق ضمن بازدید صحراوی از منطقه، رختمنون‌های مناسبی از سنگ کنگلومرا مشخص شده‌اند. از آنجایی که نمونه‌های موجود در منطقه به لحاظ ظاهری و اندازه دانه‌های تشکیل دهنده، متفاوت بودند، نمونه‌های اخذ شده (تعداد ۸ بلوك سنگی از نقاط مختلف منطقه) به گونه‌ای انتخاب شدند. که تا حد امکان معرف کل نمونه‌های موجود در منطقه باشند. پس از انتقال بلوك‌های سنگی به آزمایشگاه زمین‌شناسی مهندسی و ژئوتکنیک دانشگاه بوعلی سینا، اقدام به مغزه‌گیری از آنها گردید. از بلوك‌های سنگی مغزه‌های استوانه‌ای شکل با حداقل طول ۱۳۵ میلی‌متر و قطر ۵۴ میلی‌متر تهیه شده است که برای انجام آزمایش‌های تعیین خصوصیات فیزیکی و مکانیکی مورد استفاده قرار گرفت. برای مطالعه ویژگی‌های بافتی و سنگ‌شناسی کنگلومراهای منطقه، نمونه‌های دستی و مقاطع نازک نمونه‌ها تهیه گردید. ترکیب کانی‌شناسی خرد



شکل ۲. تصاویر نمونه‌های دستی کنگلومراهای منطقه جهت انجام مطالعات بافتی

عکس نوع تماس‌ها در طول خط‌های پیمایش شمرده شده‌اند (شکل ۳).



شکل ۳. انواع تماس بین دانه‌ها (Smart et al., 1982)

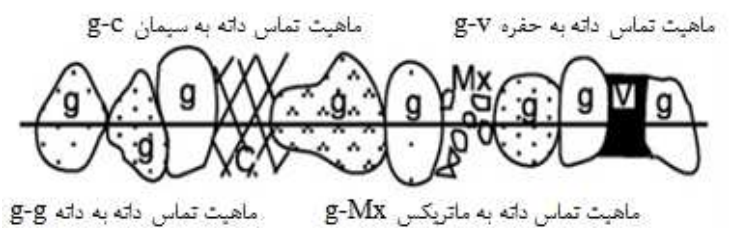
طبیعت تماس بین دانه‌ها نیز در این پژوهش با شمردن تعداد تماس دانه به دانه، دانه به سیمان، دانه به ماتریکس، حفره به سیمان و ماتریکس به حفره به دست آورده شده است. برای به دست آوردن نوع تماس بین دانه‌ها (شکل ۳) و طبیعت تماس بین دانه‌ها از تمام میدان‌های دید هر برش نازک، عکس گرفته شده است. سپس از کنار هم قرار دادن تمام عکس‌ها، تصویر برش نازک به طور کامل بازسازی گردیده و در هر



شکل ۴. تصویر کامل برش نازک و خطوط پیمایش کنگلومراهای مورد مطالعه

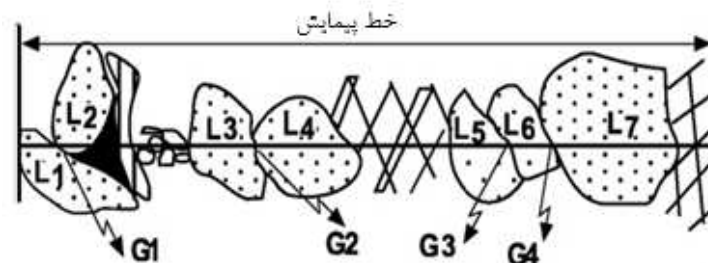
که در روی یک خط فرضی قرار دارند به تعداد کل تماس بین دانه‌ها (شامل دانه به سیمان، دانه به حفره و دانه به ماتریکس) به دست می‌آید و آرایش چگالی از نسبت بین جمع طول دانه‌های قطع شده توسط خط فرضی به طول کل خط فرضی به دست می‌آید (شکل ۵).

گردش‌گی بیانگر مقدار خمیدگی یا تیزی گوشه‌های ذره است (اهریبور و مصدق، ۱۳۸۵). گردش‌گی دانه‌ها با مقایسه دانه‌ها با مقیاس پاورس (Powers)، به دست آورده شده است (اهریبور و مصدق، ۱۳۸۵). همچنین آرایش هم‌جوار و آرایش چگالی به روش پیشنهادی Kahn (1956) تعیین شده‌اند. آرایش هم‌جوار از نسبت بین تعداد تماس دانه به دانه



$$\text{Packing Proximity, } P_p = \frac{\text{تعداد تماس‌های دانه به دانه}}{\text{تعداد کل تماس‌بین ذرات در طول خط پیمایش}} \times 100 \text{ (%)}$$

(آرایش هم‌جوار)



$$\text{Packing Density, } P_d = \frac{\text{مجموع طول قطع شده توسط خط پیمایش}}{\text{طول خط پیمایش}} \times 100 \text{ (%)}$$

(آرایش چگالی)

شکل ۵. نحوه محاسبه آرایش هم‌جوار و آرایش چگالی (Tamrakar et al., 2007)

#### ۴. نتایج و بحث

##### ۴-۱. ترکیب کانی‌شناسی

به منظور انجام مطالعات سنگ‌شناسی، تعداد ۸ برش نازک از کنگلومراهای منطقه تهیه شده است (شکل ۶). با مطالعه برش‌های نازک درصد کانی‌ها و اجزای تشکیل دهنده کنگلومراها شناسایی گردیدند که نتایج بدست آمده در جدول ۱ ارائه شده است. این کنگلومراها عمدتاً از خرده سنگ‌ها (کربناته، آذرین، ماسه‌سنگی، دگرگونی و شیلی) و مقدار اندکی کواتز و فلدوپار تشکیل شده‌اند. تغییرات مقدار خرده سنگ‌ها از ۵۴-۶۶٪، سیمان ۷-۲۲٪ و زمینه ۱۷-۲۵٪ درصد می‌باشد. این سنگ با توجه به رده‌بندی‌های رایج کنگلومراها، یک پاراکنگلومرای پلی‌میکتیک است (Pettijohn, 2000).

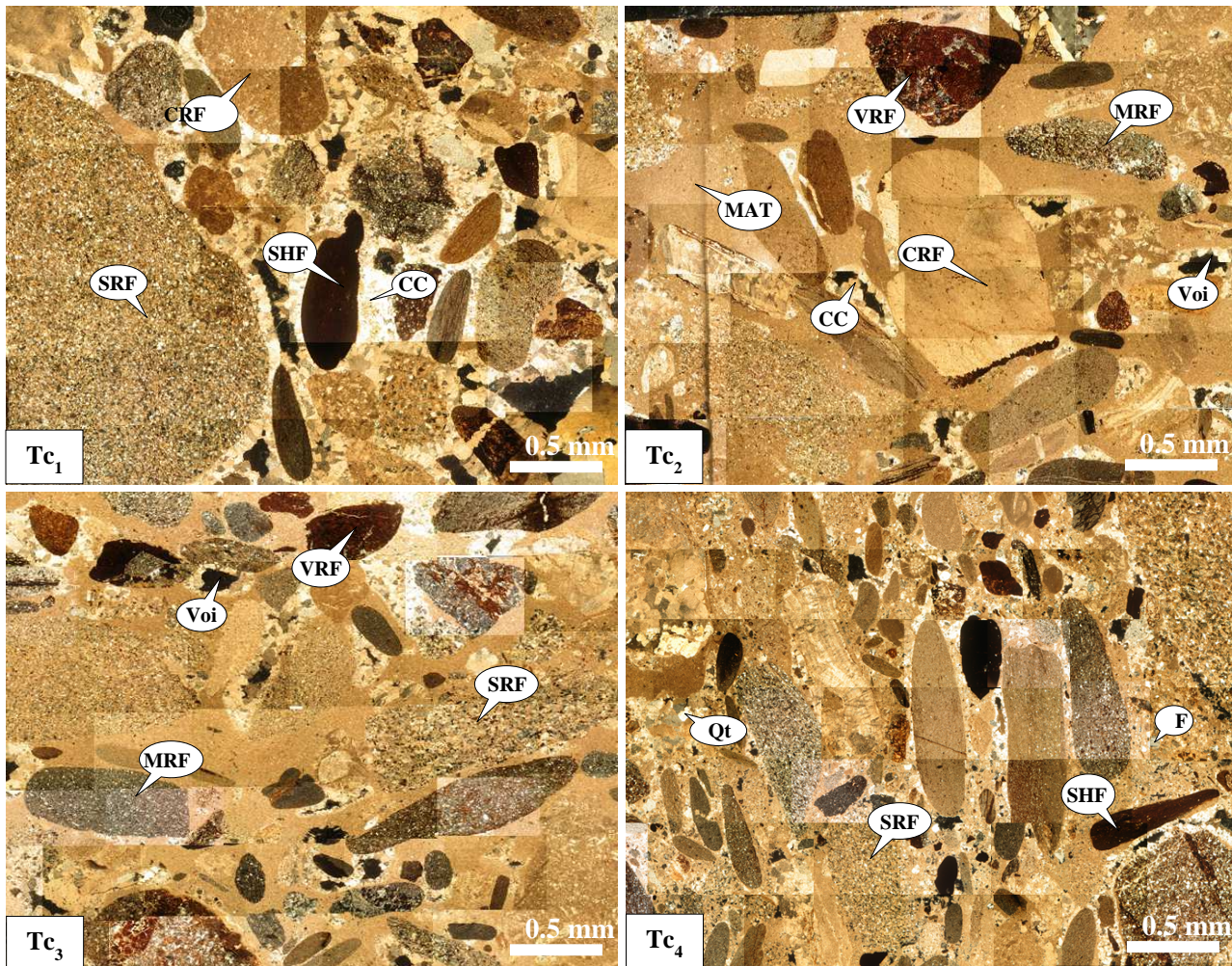
تغییرات میزان حفره نیز از ۲-۸٪ درصد می‌باشد. سیمان این کنگلومراها عمدتاً از نوع کلسیتی است که دانه را به یکدیگر متصل کرده است. در پاره‌ای از حفره‌ها، مرکز حفره کاملاً با سیمان پر نشده و تخلخل بین دانه‌ای حفظ شده است. خرده‌های سنگی موجود بیشتر از نوع خرده‌های آهکی و دگرگونی می‌باشند که در ماتریکس کربناته قرار گرفته‌اند.

ویژگی‌های مهندسی از قبیل وزن واحد خشک و اشباع، شاخص مقاومت بار نقطه‌ای، تخلخل، مقاومت فشاری تک‌محوری و مدول مماسی کنگلومراهای مورد مطالعه، به روش‌های پیشنهادی (ISRM 1981) تعیین شده‌اند. متغیرهای مهم و معنادار روابط خطی، در رگرسیون چندمتغیره با استفاده از نرم‌افزار SPSS 21، برای درک رابطه میان متغیرهای سنگ‌شناسی و ویژگی‌های فیزیکی و مکانیکی مورد بررسی قرار گرفته‌اند. برای بدست آوردن نتایج مطلوب‌تر از طریق رگرسیون چندمتغیره خطی نمونه‌ها باید زیاد و دقیق باشند. زیرا این روش در مقابله اطلاعات نادرست، حساسیت بالایی دارد و ورود چنین داده‌هایی ممکن است منجر به بروز خطاهای بزرگی در نتایج به‌دست آمده شوند (Balan, 1995).

علاوه بر این، برای استفاده از این روش، متغیرها باید پراکندگی نرمال داشته باشند و تغییر آنها از یک رابطه خطی پیروی کند. رگرسیون چندگانه ارتباط میان پارامترهای پیش‌بینی کننده را با متغیر پاسخ مورد نظر بیان می‌کند (Balan, 1995).

**جدول ۱. نتایج به‌دست آمده از بررسی سنگ‌شناسی کنگلومراهای مورد مطالعه**

شماره بلوک	کواتز	فلدوپار	خرده‌سنگ	سیمان کلسیتی	ماتریکس کربناته	حرقه
(٪)	(٪)	(٪)	(٪)	(٪)	(٪)	(٪)
Tc <sub>1</sub>	۱	۱	۶۶	۷	۱۸	۷
Tc <sub>2</sub>	۱	۰	۵۸	۱۳	۲۲	۶
Tc <sub>3</sub>	۱	۰	۵۳	۱۸	۲۵	۳
Tc <sub>4</sub>	۱	۰	۵۳	۲۲	۲۲	۲
Tc <sub>5</sub>	۱	۱	۶۴	۱۰	۱۷	۷
Tc <sub>6</sub>	۱	۱	۶۳	۱۱	۱۸	۶
Tc <sub>7</sub>	۱	۱	۶۳	۷	۲۰	۸
Tc <sub>8</sub>	۱	۰	۶۱	۱۵	۱۹	۴
حداقل	۰	۰	۵۴	۷	۱۷	۲
حداکثر	۱	۱	۶۶	۲۲	۲۵	۸
میانگین	۰/۵	۰/۵	۵۹/۶۲	۱۲/۸۷	۲۰/۱۲	۵/۳۷



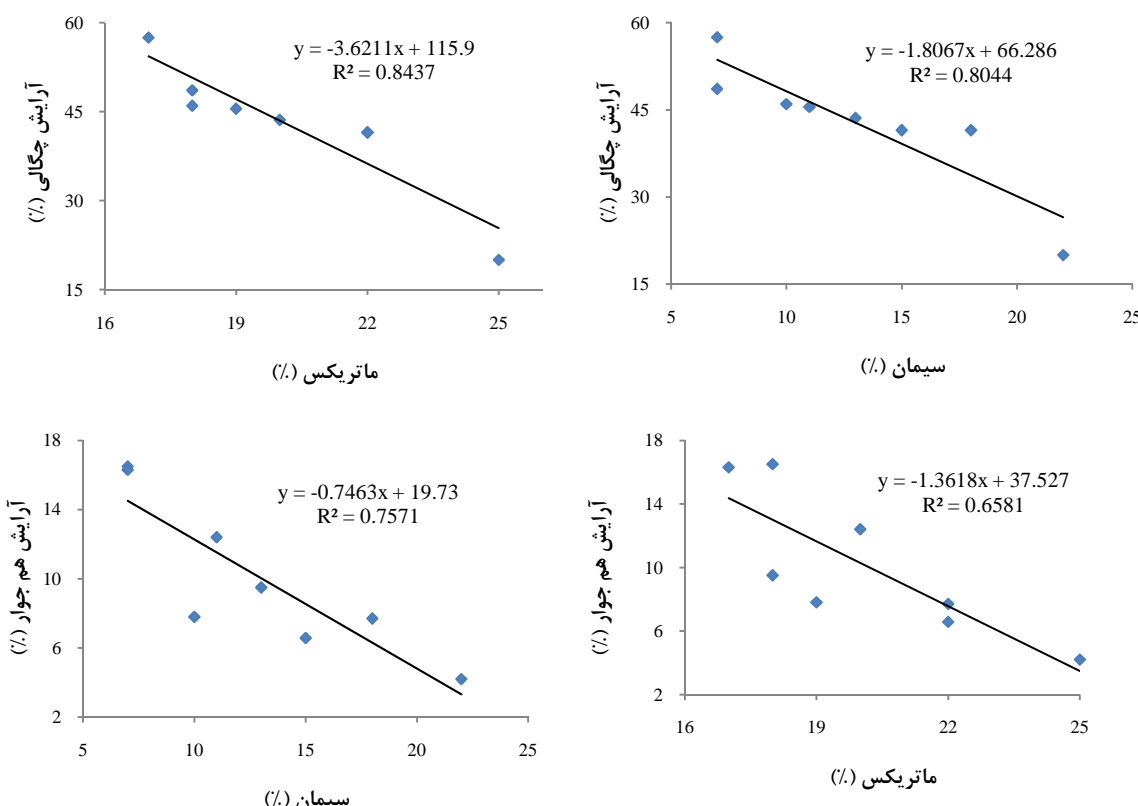
شکل ۶. تصویر میکروسکوپی برش‌های نازک کنگلومراهای مورد مطالعه  
MAT: ماتریکس، SRF: خردہ ماسه سنگی، CRF: خردہ سنگ آهکی، MRF: خردہ سنگ دگرگونی، VRF: خردہ سنگ دگرگونی، SHF: سیمان کلسیتی، CC: سیمان کلسیتی، خردہ شیلی، Qt: کوارتز و F: فلدسپار (Bell, 1978).

دارند و هیچ گونه خردشیدگی و انحلال در میان آنها دیده نمی‌شود. در تماس محدب - مقعر دانه سخت‌تر به درون دانه نرم‌تر نفوذ کرده به طوری که نوعی انحلال و خردشیدگی در یک قسمت دانه (قسمت مقعر) به وجود می‌آید. این گونه تماس نشان دهنده فشردگی و تراکم بین دانه‌های تشکیل دهنده سنگ است. در تماس مضرس با افزایش شدت تراکم و انباشتگی دانه‌ها، دانه‌ها در یکدیگر نفوذ کرده و خردشیدگی دو طرفه را به وجود می‌آورند. در نتیجه محل تماس بین دانه‌ها به صورت مضرس دیده می‌شود. در این حالت میزان

۴-۲. نتایج مطالعات بافتی  
نتایج بدست آمده از بررسی‌های بافتی در جدول ۲ ارائه شده است. متوسط اندازه دانه‌ها  $6/3 \text{ mm}$  با جورشیدگی متوسط و شکل دانه‌ها گردشده تا نیمه گردشده می‌باشد. تماس بین دانه‌ها به انواع طولی، محدب - مقعر، مضرس و نقطه‌ای طبقه‌بندی می‌شود که در سنگ‌های با جورشیدگی خوب حضور سه نوع تماس یا بیشتر نشان می‌دهد که تخلخل بوسیله انحلال فشاری کاهش یافته است (Bell, 1978). در تماس نقطه‌ای، دانه‌ها نسبت به یکدیگر در یک نقطه تماس

کنگلومراهای مورد مطالعه، با توجه به ماتریکس پشتیبان بودن آنها، میزان تماس بین دانه‌ها پائین می‌باشد و غالب تماس‌ها از نوع نقطه‌ای می‌باشند. مقادیر بالای آرایش چگالی و آرایش هم‌جوار، محتوی پائین سیمان و ماتریکس را نشان می‌دهند که دانه‌ها در هم محکم شده‌اند (Ulusay et al., 1994). در پژوهش حاضر ارتباط معکوسی میان مقدار سیمان و ماتریکس با آرایش چگالی و آرایش هم‌جوار وجود دارد (شکل ۷).

ماتریکس به شدت کاهش پیدا می‌کند (پروین، ۱۳۸۵). روند تغییر تماس نقطه‌ای تا مضرس بیانگر روند افزایش فشار و تراکم در رسوبات است. در تماس مضرس حداقل تراکم ایجاد شده است به طوری که در مرز بین دانه‌ها فرآیند انحلال شیمیایی (Pressure dissolution) صورت می‌گیرد. به این نوع فشردگی، تراکم شیمیایی (Chemical compaction) می‌گویند (پروین، ۱۳۸۵). تماس از نوع مضرس بر دیازنز و عمق دفن زیاد دلالت دارد، در مقابل تماس از نوع طولی و محدب - مقعر بر عمق متوسط دلالت دارد (Bell, 1978). در



شکل ۷. ارتباط درصد سیمان و ماتریکس با آرایش چگالی و آرایش هم‌جوار

مقدار متوسط ۱۵/۶ درصد در رده بعدی قرار دارند و تماس مضرسی با ۲/۷ درصد کمترین نوع تماس می‌باشد.

در کنگلومراهای مورد مطالعه، تماس‌های نقطه‌ای با مقدار متوسط ۷۲/۴۳ درصد بیشترین نوع تماس، تماس‌های طولی با

### جدول ۲. ویژگی‌های بافتی کنگلومراهای مورد مطالعه

شماره نمونه	Mgs (mm)	شكل دانه‌ها (%)			نوع تماس بین دانه‌ها (%)				ماهیت تماس بین دانه‌ها (%)					آرایش دانه‌ها (%)	
		Ang	Rou	Lo	Cc	Su	Ta	GG	GC	GM	VC	MV	Pd	Pp	
Tc <sub>1</sub>	۲	۲۱/۶	۷۸/۳	۱۹/۵	۵	۴	۷۱	۷/۶۲	۱۳/۱۴	۴۷/۶۱	۵/۵۳	۷/۷۳	۴۱/۵	۷/۷	
Tc <sub>2</sub>	۴	۲۲/۲	۷۷/۸	۵/۹	۲/۷	۱/۸	۸۹/۵	۵/۸۲	۲۹/۶۱	۶۳/۴۰	۹/۹۷	۱۲/۶۵	۲۰	۶/۵۷	
Tc <sub>3</sub>	۷	۲۳/۸	۷۶/۲	۸/۲	۷/۲	۱	۸۶/۵	۳/۰۰	۵۸/۹۵	۵۴/۹۸	۲۲/۴۶	۱۸/۴۰	۴۶	۱۲/۴	
Tc <sub>4</sub>	۶	۱۴/۵	۸۵/۴	۱۷	۱۵/۴	۱/۲۵	۶۶/۲۵	۱/۶۰	۴۹/۷۷	۶۰/۱۵	۱۳/۷۰	۷/۸۷	۴۵/۵	۹/۵	
Tc <sub>5</sub>	۷	۶/۳	۹۳/۶	۲۲/۱	۱۹/۳	۲/۱۴	۵۶/۴۲	۷/۴۳	۲۶/۹۷	۲۲/۸۴	۹/۵۷	۹/۱۶	۴۸/۶	۱۶/۳	
Tc <sub>6</sub>	۱۰	۷/۷	۹۲/۳	۲۵/۵	۲	۲/۵	۷۰	۸/۲۳	۱۹/۰۰	۳۲/۸۰	۱۱/۶۴	۵/۸۰	۵۷/۵	۱۶/۵	
Tc <sub>7</sub>	۱۲	۵/۴	۹۴/۶	۱۰	۶/۶	۸/۳	۷۵	۱۱/۱۲	۱۲/۷۹	۴۱/۷۷	۷/۱۲	۱۰/۱۶	۴۳/۶	۷/۸	
Tc <sub>8</sub>	۳	۱۲/۵	۸۷/۵	۱۶/۶	۱۶	۱/۳۸	۶۴/۷۸	۱۰/۴۴	۳۵/۲۰	۵/۳۶	۱۲/۰۰	۴/۴۵	۴۱/۵	۴/۲	
Min	۲	۵/۴	۷۶/۲	۵/۹	۲	۱	۵۶/۴۲	۱/۶۰	۱۲/۸۰	۵/۳۶	۵/۵۳	۴/۴۵	۲۰/۵	۴/۲	
Max	۱۲	۲۳/۸	۹۴/۶	۲۵/۵	۱۹/۳	۸/۳	۸۹/۵	۱۱/۱۰	۵۸/۹۰	۶۳/۴	۲۲/۴	۱۸/۴۰	۵۷/۵	۱۶/۵	
Ave	۶/۳۷	۱۴/۳	۸۵/۶	۱۵/۶	۹/۲۷	۲/۷	۷۲/۴۳	۷/۷۸	۳۱/۷۰	۳۸/۹۰	۱۲/۰۰	۱۰/۱۳	۴۲/۲	۱۰/۳۵	

Mیانگین اندازه دانه‌ها، Ang: زاویه‌دار، Rou: گرد شده، Lo: طولی، Cc: محدب - مکعب، GG: دانه به سیمان، GC: دانه به دانه، GM: دانه به سیمان، MV: حفره به سیمان، Pd: ماتریکس به حفره، Pp: آرایش چگالی، Pp: آرایش هم‌جوار

شده (Is<sub>(50)</sub>) از ۵/۷۵ MPa تا ۳/۹۶ تغییر می‌کند که مقدار میانگین آن ۴/۸۲ MPa می‌باشد. بر پایه مقادیر مدول یانگ و مقاومت فشاری تکمحوری، کنگلومراهای مورد مطالعه در حالت خشک دارای مقاومت فشاری تکمحوری کم تا متوسط و نسبت مدولی متوسط هستند که در رده CM تا DM قرار می‌گیرند. با توجه به شاخص بار نقطه‌ای خشک و رده‌بندی (Deere and Miller 1966)، در رده E از ۶/۱۳ MPa تا ۳۷/۴۸ تغییر می‌کند و مقدار میانگین آن ۵۰/۲۴ مگاپاسکال می‌باشد. در حالی که مقادیر اندازه‌گیری شده UCS از ۱۰ GPa تا ۲۷ GPa تغییر می‌کند و مقدار میانگین آن ۱۵/۱۱ GPa می‌باشد. همچنین مقادیر اندازه‌گیری تا بالا قرار می‌گیرند.

### ۴-۳. ویژگی‌های مهندسی

همانطوری که در جدول ۳ نشان داده شده است، دامنه تغییرات چگالی خشک نمونه‌ها ۲/۵۳-۲/۶۰ و چگالی اشباع ۲/۵۷-۲/۶۴ گرم بر سانتیمتر مکعب می‌باشد. مقادیر تخلخل موثر از ۲/۴۳-۳/۸۷ درصد متغیر است. مقادیر اندازه‌گیری شده UCS از ۱۰ GPa تا ۳۷/۴۸ تغییر می‌کند و مقدار میانگین آن ۵۰/۲۴ مگاپاسکال می‌باشد. در حالی که مقادیر اندازه‌گیری شده E از ۶/۱۳ MPa تا ۳۷/۴۸ تغییر می‌کند و مقدار میانگین آن ۱۵/۱۱ GPa می‌باشد. همچنین مقادیر اندازه‌گیری

### جدول ۳. ویژگی‌های مهندسی کنگلومراهای مورد مطالعه

شماره نمونه	$\gamma_d$ (kN/m <sup>3</sup> )	$\gamma_{sat}$ (kN/m <sup>3</sup> )	n (%)	I <sub>s(50)</sub> (MPa)	UCS (MPa)	E <sub>t</sub> (GPa)
Tc <sub>1</sub>	۲۵/۳۰	۲۵/۵۰	۲/۴۵	۳/۹۶	۴۷/۲۰	۱۶/۶۶
Tc <sub>2</sub>	۲۵/۲۰	۲۵/۵۰	۲/۸۹	۵/۷۵	۴۸/۰۸	۱۶/۹۵
Tc <sub>3</sub>	۲۵/۵۰	۲۵/۹۰	۳/۸۷	۵/۱۶	۵۸/۲۱	۱۴/۴
Tc <sub>4</sub>	۲۵/۴۰	۲۵/۷۰	۲/۵۱	۴/۹۱	۷/۱۳	۲۷
Tc <sub>5</sub>	۲۴/۹۱	۲۵/۳۰	۳/۳۲	۴/۰۳	۴۴/۳۱	۱۲/۶
Tc <sub>6</sub>	۲۴/۸۱	۲۵/۲۱	۳/۵۴	۴/۸۵	۴۶/۸۳	۱۰
Tc <sub>7</sub>	۲۴/۹۱	۲۵/۲۱	۳/۲۸	۵/۰۵	۳۷/۴۸	۹/۶۹
Tc <sub>8</sub>	۲۵/۳۰	۲۵/۶۰	۲/۴۳	۴/۸۵	۵۲/۷۳	۱۴
Min	۲۴/۸۱	۲۵/۲۱	۲/۴۳	۳/۹۶	۳۷/۴۸	۱۰
Max	۲۵/۵۰	۲۵/۹۰	۳/۸۷	۵/۷۵	۷/۱۳	۲۷
Ave	۲۵/۱۱	۲۵/۴۰	۳	۴/۸۲	۵۰/۲۴	۱۵/۱۱

گرفته است که نتایج آن در جدول ۴ ارائه شده است. برخی از پارامترها همبستگی آشکاری را با ویژگی‌های فیزیکی و مکانیکی نشان می‌دهند. چگالی خشک با فراوانی دانه‌های گرد شده به دلیل کاهش تخلخل با افزایش گرد شدگی دارای ارتباط وارون ( $r = -0.52$ )، و با فراوانی دانه‌های زاویه‌دار به دلیل افزایش تخلخل با زاویه‌دار بودن دانه‌ها دارای ارتباط مستقیم ( $r = 0.55$ ) می‌باشد. همچنین چگالی خشک همبستگی معنادار و مستقیمی با آرایش هم‌چووار ( $r = 0.80$ ) دارد.

## ۵. تحلیل آماری داده‌ها

برای درک رابطه میان ویژگی‌های بافتی با ویژگی‌های فیزیکی و مکانیکی نمونه‌ها، همبستگی خطی میان آنها و روش رگرسیون چندمتغیره استفاده شده است. همچنین رگرسیون خطی چندمتغیره گام به گام برای کاهش تعداد متغیرهای ورودی در روابط رگرسیون چندمتغیره، بدون کاهش قابلیت پیش‌بینی، به کار برده شده است.

**۵-۱. رگرسیون خطی و تجزیه تحلیل همبستگی**  
در این پژوهش تعداد ۱۸ متغیر بافتی به طور جداگانه برای ارتباط با ویژگی‌های فیزیکی و مکانیکی مورد استفاده قرار

جدول ۴. همبستگی خطی میان ویژگی‌های بافتی با ویژگی‌های فیزیکی و مکانیکی کنگلومراها

ویژگی‌های سنگ‌شناسی	ویژگی‌های فیزیکی			ویژگی‌های مکانیکی		
	$\gamma_d$ (kN/m <sup>3</sup> )	$\gamma_{sat}$ (kN/m <sup>3</sup> )	n (%)	$IS_{(50)}$ (MPa)	UCS (MPa)	$E_t$ (GPa)
میانگین اندازه دانه‌ها (mm)	-0.05	-0.10	0.42	0.43	-0.52	-0.18
شکل دانه‌ها (%)	0.52	-0.68	0.52	-0.57	-0.39	-0.52
دانه به دانه	0.055	0.64	-0.22	0.17	0.18	0.47
ماهیت تماس دانه‌ها (%)	0.07	0.21	0.08	0.14	0.28	0.00
دانه به سیمان	-0.06	-0.44	-0.02	0.04	0.09	0.12
دانه به ماتریکس	0.06	0.04	0.02	0.00	0.24	-0.02
حفره به سیمان	0.04	0.05	-0.09	0.03	0.02	0.01
ماتریکس به حفره	-0.00	-0.15	0.05	0.06	0.14	-0.09
نوع تماس دانه‌ها (%)	-0.27	-0.23	0.03	0.08	-0.08	-0.17
محدب - مقعر	0.27	0.24	-0.22	-0.12	0.06	0.03
مضرس	-0.08	-0.07	0.14	-0.09	-0.08	0.26
نقطه‌ای	0.12	0.12	0.11	0.08	0.09	0.09
آرایش چگالی دانه‌ها (%)	0.77	0.61	-0.59	0.61	0.53	0.68
آرایش هم‌چووار دانه‌ها	0.80	0.77	-0.73	0.69	0.57	0.74
خرده‌ستگی	-0.17	-0.04	0.17	0.13	-0.09	0.01
کانی شناسی (%)	0.49	0.02	-0.24	0.43	0.36	0.39
سیمان	-0.14	0.00	-0.21	-0.09	0.06	0.11
ماتریکس	0.16	0.01	0.78	-0.17	-0.13	0.07
حفره						

آرایش چگالی ( $r = -0.59$ ) و آرایش هم‌چووار ( $r = -0.73$ ) نشان می‌دهد که هرچه دانه‌ها به هم نزدیک‌تر باشند، مقدار تخلخل کمتر می‌شود. ویژگی‌های بافتی که با مقاومت فشاری تک محوری همبستگی معناداری نشان می‌دهند شامل آرایش

بطور کلی آرایش هم‌چووار و آرایش چگالی، همبستگی معناداری با وزن واحد حجم با درجه اطمینان ۹۵٪ نشان می‌دهند، لذا می‌توان از متغیرهای یاد شده برای برآورد وزن واحد حجم استفاده نمود. همبستگی معکوس میان تخلخل و

$$MAE = \frac{\sum_{i=1}^n |x_i - y_i|}{n} \quad (3)$$

در روابط فوق  $X_i$ : مقادیر پیش‌بینی شده توسط مدل،  $\bar{X}$ : متوسط مقادیر پیش‌بینی شده توسط مدل،  $Y_i$ : مقادیر واقعی،  $\bar{Y}_i$ : مقادیر واقعی و  $n$ : تعداد مشاهدات می‌باشد. برای ارزیابی سطح اطمینان، تجزیه و تحلیل‌های رگرسیون چندمتغیره، آزمون  $t$  با درجه اطمینان ۹۵٪ نیز انجام شده است. رابطه آزمون  $t$  عبارت است از نسبت اختلاف میان دو مقدار متوسط یا میانگین به تنوع و پراکندگی مقادیر اندازه‌گیری شده آزمون  $t$  با استفاده از رابطه ۴ محاسبه می‌گردد:

$$t = \frac{M_1 - M_2}{\sqrt{\left( \frac{s^2_p}{n_1} + \frac{s^2_p}{n_2} \right)}} \rightarrow s^2_p = \frac{SS_1 + SS_2}{df_1 + df_2} \quad (4)$$

در رابطه ۴،  $M_1$  و  $M_2$  مقادیر متوسط گروه‌های ۱ و ۲ می‌باشند،  $S^2_p$  واریانس مشترک،  $SS_1$  و  $SS_2$  مجموع مربعات برای هر گروه،  $n_1$  و  $n_2$  تعداد محاسبات هر گروه و  $df_1$  و  $df_2$  درجه آزادی هر گروه می‌باشند ( $df_1 = n_1 - 1$ ,  $df_2 = n_2 - 1$ ). اگر مقدار متغیرهای ۱ بزرگتر از مقدار متوسط گروه ۲ باشد، مقدار  $t$  مثبت و اگر مقدار متغیرهای ۱ کوچکتر از مقدار متوسط گروه ۲ باشد، مقدار  $t$  منفی می‌باشد. اگر مقدار  $t$  محاسبه شده بیشتر از مقدار پارامتر باشد درجه اطمینان کمتر از ۰/۰۵ می‌باشد که در این حالت متغیر به صورت قابل ملاحظه‌ای در موقوفیت مدل در پیش‌بینی، موثر است. نتایج رگرسیون چندمتغیره گام به گام و مقدار  $t$  محاسبه شده برای هر مشخصه در جدول‌های ۵ و ۶ ارائه شده است. ضرایب همبستگی رگرسیون چندمتغیره گام به گام برای پارامترهای تخلخل، مدل الاستیسیته و چگالی خشک در مقایسه با دیگر پارامترها بالاتر می‌باشد. چگالی اشباع، شاخص مقاومت بارنقطه‌ای و مقاومت فشاری تکمحوری، ضریب همبستگی متوضطی را نشان می‌دهند. بنابراین، زمانی که متغیرهای بافتی به صورت چندگانه در نظر گرفته شدند، مشاهده گردید که مدل الاستیسیته، تخلخل و چگالی خشک در مقایسه با دیگر

هم‌جوار ( $r = ۰/۵۵$ ) و آرایش چگالی ( $r = ۰/۵۲$ ) می‌باشد. زیرا با افزایش آرایش چگالی و آرایش هم‌جوار، مقاومت فشاری نمونه‌ها نیز افزایش می‌یابد (Bell, 1978a). میانگین اندازه دانه‌ها با مقاومت فشاری تک محوری رابطه معکوسی ( $r = -0/۵۲$ ) را نشان می‌دهد که بیانگر افزایش مقاومت فشاری تکمحوری با کاهش اندازه دانه‌هاست. ویژگی‌های بافتی که بیشترین تاثیر را بر روی مدل الاستیسیته دارند عبارتند از آرایش هم‌جوار ( $r = ۰/۷۴$ )، آرایش چگالی ( $r = ۰/۶۸$ )، گردشگی دانه‌ها ( $r = -0/۵۲$ )، زاویه‌دار بودن دانه‌ها ( $r = ۰/۴۷$ ) و درصد سیمان ( $r = ۰/۳۹$ ). همان‌طور که انتظار می‌رود، با افزایش دو پارامتر نخست، مدل الاستیسیته نیز افزایش می‌یابد و با توجه به این که گردشگی موجب درهم فشرده شدن بیشتر دانه‌ها و تراکم (افزایش کرش) می‌گردد، از این‌رو رابطه معکوس با مدل الاستیسیته دارد.

۲-۵. رگرسیون چندمتغیره خطی به روش گام به گام با توجه به اینکه روش رگرسیون تکمتغیره ارتباط بین ویژگی‌های سنگ‌شناسی و ویژگی‌های مهندسی را به روشنی نشان نمی‌دهد، متغیرهای مهم و معنادار روابط خطی، به منظور درک ارتباط متغیرهای بافتی با ویژگی‌های فیزیکی و مکانیکی با استفاده از رگرسیون چندمتغیره، مورد بررسی قرار گرفتند تا این ارتباط به وسیله متغیرهای چندگانه به روشنی نشان داده شود. اجرای روش گام به گام در این مطالعه بسط داده شده است. در این مطالعه، همچنین ضریب همبستگی ( $R$ )، ریشه میانگین مربعات خطأ (RMSE) و میانگین قدر مطلق خطأ (MAE)، با استفاده از روابط ۱، ۲ و ۳ برای کنترل قابلیت پیش‌بینی مدل‌های پیشنهادی محاسبه شده‌اند.

$$R = \frac{\sum_{i=1}^n (X_i - \bar{X})(Y_i - \bar{Y})}{\sqrt{\sum_{i=1}^n (X_i - \bar{X})^2 (Y_i - \bar{Y})^2}} \quad (1)$$

$$RMSE = \sqrt{\frac{\sum_{i=1}^n (x_i - y_i)^2}{n}} \quad (2)$$

بنابراین می‌توان نتیجه گرفت که این سه متغیر پیش‌بینی کننده‌های مناسبی برای  $Is_{50}$  می‌باشند. در حالی که دو متغیر آرایش هم‌جوار و آرایش چگالی  $Is_{50}$  را با  $R = 0.78$  پیش‌بینی کردند، لذا کاهش از سه متغیر به دو متغیر، موجب کاهش ناچیزی در توانایی پیش‌بینی می‌گردد. برای ویژگی‌های دیگر نیز ارزیابی مشابهی وجود دارد (جدول ۵). شاخص‌های ارزیابی عملکرد آماری روش رگرسیون چندمتغیره خطی برای ویژگی‌های مهندسی در جدول‌های ۵ و ۶ ارائه شده است.

پارامترها به شکل مناسب‌تری مورد ارزیابی قرار گرفته‌اند. در مورد مدلول الاستیسیته همان‌طور که جدول ۵ نشان می‌دهد، دو متغیر در گام اول Et را با ضریب همبستگی  $R = 0.86$  پیش‌بینی می‌نمایند. برای چگالی اثبات، افزایش تعداد دو متغیر ورودی به پنج متغیر، تنها در حدود  $0.01$  در ضریب همبستگی، افزایش نشان می‌دهد. وقتی که  $Is_{50}$  با سه متغیر آرایش هم‌جوار، آرایش چگالی و گردش‌گی دانه‌ها، رگرسیون گرفته می‌شود، ضریب همبستگی آن  $R = 0.79$  می‌باشد،

**جدول ۵. شاخص‌های ارزیابی عملکرد آماری روش رگرسیون چندمتغیره خطی گام به گام در پیش‌بینی ویژگی‌های مهندسی**

$\gamma_d$ (kN/m <sup>3</sup> )				$\gamma_{sat}$ (kN/m <sup>3</sup> )			
متغیرهای ورودی	R	RMSE	MAE	متغیرهای ورودی	R	RMSE	MAE
(i)= Pp, Pd	0.81	0.017	0.012	(i)= Pp, Round	0.74	0.014	0.011
(ii)= Pp, Pd, Angular	0.82	0.019	0.013	(ii)= Pp, Round, Angular	0.74	0.011	0.007
(iii)= Pp, Pd, Angular, Round	0.84	0.021	0.011	(iii)= Pp, Round, Angular, Pd	0.75	0.006	0.003
(iv)= Pp, Pd, Angular, Round, Cem	0.84	0.016	0.0088	(iv)= Pp, Round, Angular, Pd, G-C	0.75	0.005	0.002

n(%)				$Is_{(50)}$ (MPa)			
متغیرهای ورودی	R	RMSE	MAE	متغیرهای ورودی	R	RMSE	MAE
(i)= Pp, Pd	0.82	0.321	0.211	(i)= Pp, pd	0.78	0.448	0.330
(ii)= Pp, Pd, VOi, ,	0.82	0.214	0.100	(ii)= Pp, pd, Round	0.79	0.494	0.275
(iii)= Pp, Pd, VOi, Round	0.83	0.199	0.086	(iii)= Pp, pd, Round, Mz	0.79	0.509	0.257
(iv)= Pp, Pd, VOi, Round, Mz,	0.85	0.241	0.090	(iv) = Pp, pd, Round, Mz, Cem	0.79	0.611	0.238

UCS (MPa)				Et (GPa)			
متغیرهای ورودی	R	RMSE	MAE	متغیرهای ورودی	R	RMSE	MAE
(i)= Pp, Pd	0.76	7.47	4.416	(i)= Pp, Pd	0.86	5.81	3.308
(ii)= Pp, Pd, Mz	0.77	7.85	4.528	(ii)= Pp, Pd, Round	0.87	5.25	3
(iii)= Pp, Pd, Mz, Round	0.77	8.76	4.225	(iii)= Pp, Pd, Round, Angular	0.88	4.65	2.233
(iv) = Pp, Pd, Mz, Round, Cem	0.78	9.76	4.416	(iv) = Pp, Pd, Round, Angular, Cem	0.88	1	0.278

Pp: آرایش هم‌جوار، Pd: آرایش چگالی، Cem: درصد سیمان، VOi: درصد زاویدار بودن، Round: درصد حفره، Mz: متوسط اندازه دانه‌ها، G-C: ماهیت تماس دانه به سیمان.

می‌تواند برآورده قابل پذیرشی را از مدلول الاستیسیته ارائه دهد. نتایج آزمون  $t$ ، پیش‌بینی کننده متوسطی ( $t = 2/20$ ) را برای مقاومت فشاری تکمحوری با ضریب همبستگی  $R = 0.76$  ( $t = 0.76$ ) نشان می‌دهد که خیلی قابل توجه نمی‌باشد. تخلخل دارای یک پیش‌بینی کننده مهم با ( $t = 0.82$ ) می‌باشد که ضریب همبستگی قابل توجهی ( $t = 0.82$ ) را ارائه می‌نماید.

نتایج آزمون  $t$  در پنج گام برای ویژگی‌های مهندسی در جدول ۶ ارائه شده است. همان‌طور که نشان داده شده است، مقادیر  $t$  محاسبه شده با درجه اطمینان  $95\%$  در گام اول بزرگتر از مقادیر این پارامتر در گام‌های دیگر می‌باشد. بر پایه نتایج آزمون  $t$ ، مدلول الاستیسیته دارای یک پیش‌بینی کننده مناسب با ( $t = 11/86$ ) می‌باشد که دارای ضریب همبستگی با ( $t = 0.82$ ) می‌باشد. بنابراین رابطه پیش‌بینی کننده Et

جدول ۶. مقادیر  $t$  محاسبه شده پارامترها برای ویژگی‌های مهندسی در پنج گام

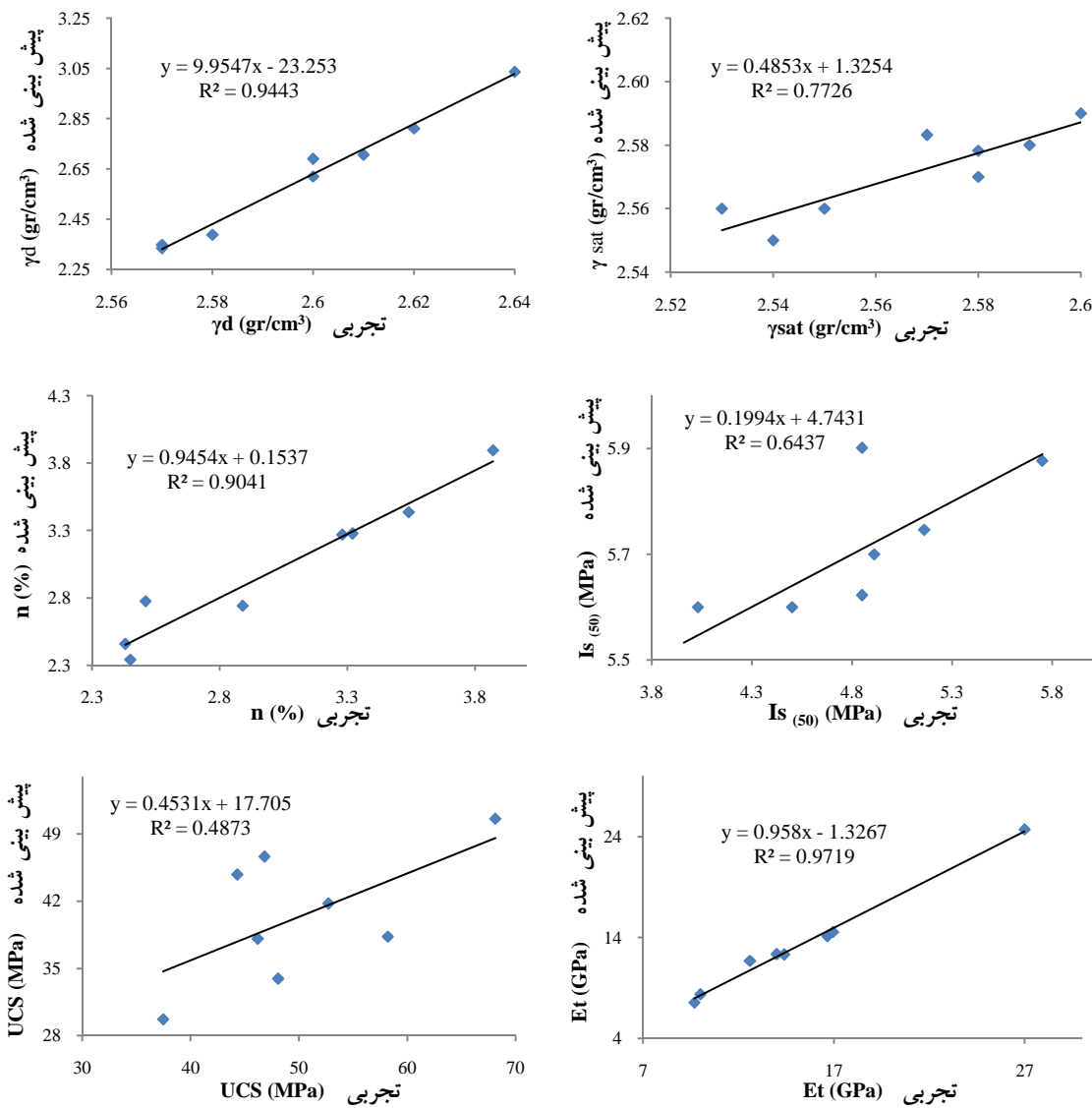
گام‌ها	ویژگی‌های مهندسي	Constant	ویژگی‌های سنجشناستی							
			PP	Pd	Angular	Round	Cem	G-C	Voi	Mz
steps (i)	$\gamma d$	-۵/۱۵	۵/۱۶	-	-	-	-	-	-	-
	$\gamma sat$	۲/۸۴	۹/۵۸	-	-	-	-	-	-	-
	n	۷/۸۵	۶/۶۴	-	-	-	-	-	-	-
	$Is_{(50)}$	-۴/۶۳	۵/۷۹	-	-	-	-	-	-	-
	UCS	۲/۹۰	-۵/۲۶	-	-	-	-	-	-	-
	Et	۱۱/۳۳	۹/۵۸	-	-	-	-	-	-	-
steps (ii)	$\gamma d$	-۴/۷۷	۵/۱۲	-۱/۵۴	-	-	-	-	-	-
	$\gamma sat$	۲/۶۹	۳/۱۴	-	-	-۲/۴۰	-	-	-	-
	n	۵/۰۴	۶/۳۹	۰/۵۰	-	-	-	-	-	-
	$Is_{(50)}$	-۳/۸۲	۵/۰۸	-۰/۴۲	-	-	-	-	-	-
	UCS	۲/۲۰	-۲/۶۱	-۱/۰۶	-	-	-	-	-	-
	Et	۱۱/۸۶	۸/۵۷	-۰/۸۳	-	-	-	-	-	-
steps (iii)	$\gamma d$	-۳/۵۹	۳/۹۶	-۰/۰۹	۱/۵۲	-	-	-	-	-
	$\gamma sat$	۲/۶۴	۲/۳۹	-	۲/۴۰	۰/۲۶	-	-	-	-
	n	۴/۳۰	۴/۴۱	-۱/۶۹	-	-	-	-	۰/۶۲	-
	$Is_{(50)}$	-۲/۷۵	۳/۷۸	۰/۲۹	-	-۰/۶۶	-	-	-	-
	UCS	۳/۲۸	-۳/۰۱	-۰/۹۸	-	-	-	-	-	-۰/۵۲
	Et	۹/۲۵	۵/۸۸	۰/۶۸	-	-۱/۰۷	-	-	-	-
steps (iv)	$\gamma d$	-۱/۳۴	۳/۳۵	-۰/۰۹	۱/۲۲	-۱/۵۱	-	-	-	-
	$\gamma sat$	۰/۷۱	۲/۸۴	-۱/۱۲	۱/۸۸	۰/۶۱	-	-	-	-
	n	۳/۷۱	۳/۶۶	-۲/۲۰	-	۲/۰۹	-	-	۰/۲۵	-
	$Is_{(50)}$	-۲/۱۷	۲/۸۶	۰/۳۷	-۰/۶۹	-	-	-	-	-
	UCS	۱/۱۲	-۳/۴۲	-۰/۷۴	-	۰/۲۵	-	-	-	۰/۴۴
	Et	۸/۶۷	۴/۲۳	۰/۶۶	۱/۰۷	-۰/۷۱	-	-	-	-۰/۴۶
steps (v)	$\gamma d$	-۰/۴۲	۳/۰۲	-۰/۰۴	۱/۶۸	۰/۵۰	۱/۴۳	-	-	-
	$\gamma sat$	۰/۴۷	۲/۷۶	-۱/۰۹	۱/۲۲	۰/۱۴	-	۰/۸۹	-	-
	n	۳/۴۴	۳/۱۸	-۱/۸۲	-	۰/۰۶	-	-	۰/۹۲	۱/۵۲
	$Is_{(50)}$	-۰/۰۵۸	۳/۱۵	۰/۴۱	-	-۰/۴۷	۱/۸۱	-	-	۰/۸۸
	UCS	۰/۲۱	-۲/۲۵	-۰/۶۸	-	۰/۵۱	-۰/۴۶	-	-	-۰/۵۹
	Et	۵/۰۸	۴/۰۶	۰/۵۷	۰/۹۳	-۱/۱۰	۰/۵۳	-	-	-

رگرسیون چندمتغیره گام به گام و مقادیر تجربی به دست آمده در آزمون‌های آزمایشگاهی همبستگی معناداری وجود دارد (شکل ۸).

بهترین روابط پیشنهاد شده توسط رگرسیون چندمتغیره خطی، برای پیش‌بینی ویژگی‌های فیزیکی و مکانیکی در جدول ۷ ارائه شده است. تجزیه و تحلیل نتایج نشان می‌دهد که بین مقادیر پیش‌بینی شده ویژگی‌های فیزیکی و مکانیکی با روش

جدول ۷. روابط پیشنهاد شده توسط رگرسیون چندمتغیره خطی، برای پیش‌بینی ویژگی‌های مهندسی

شماره	رابطه	$R^2$
۱	$\gamma_d (\text{kN/cm}^3) = -63.12 - 0.003 Pp + 1.17 Pd + 1.18 \text{Angular} - 0.005 \text{Round} - 0.004 \text{Cem}$	۰/۹۴
۲	$\gamma_{\text{sat}} (\text{kN/cm}^3) = 17.53 - 0.13 Pp - 0.092 \text{Round} - 0.138 \text{Angular} - 0.082 Pd - 0.006 G-C$	۰/۷۷
۳	$n (\%) = -8.6 - 0.092 Pp + 0.267 Pd - 0.031 VOi + 0.013 \text{Round} + 0.015 Mz$	۰/۹۰
۴	$I_s (50) (\text{MPa}) = -1.44 + 0.043 Pp + 0.069 Pd + 0.047 \text{Round} + 0.036 Mz + 0.079 \text{Cem}$	۰/۶۴
۵	$UCS (\text{MPa}) = 284.68 - 1.90 Pp - 1.43 Pd - 1.55 Mz - 1.89 \text{Round} - 4 \text{Cem}$	۰/۴۸
۶	$E_t (\text{GPa}) = 63090.3 - 1928 Pp - 1925 Pd - 17.3 \text{Round} + 1.82 \text{Angular} + 1.49 \text{Cem}$	۰/۹۷



شکل ۸: مقایسه بین ویژگی‌های مهندسی پیش‌بینی شده توسط رگرسیون چندمتغیره گام به گام با مقادیر تجربی آنها

دارند، بهبود یابند. مقادیر پیش‌بینی شده مدول یانگ، چگالی خشک و تخلخل اختلاف بسیار کمی با مقادیر اندازه‌گیری شده آنها نشان می‌دهند، بنابراین می‌توان از روابط ارائه شده، برای برآورد این پارامترها استفاده نمود.

- استفاده از رگرسیون چندمتغیره گام به گام موجب کاهش تعداد ویژگی‌های سنگ‌شناسی از ۱۸ متغیر به تعداد متغیر کمتری که بیشترین تاثیر را بر روی ویژگی‌های مهندسی دارند، گردیده است. آرایش هم‌جوار و آرایش چگالی پیش‌بینی کننده‌های مناسبی هستند که از آنها برای توضیح چگالی خشک، تخلخل، مقاومت بار نقطه‌ای، مقاومت فشاری تک‌محوری و مدول الاستیسیته می‌توان استفاده نمود.

نتایج این مطالعه نشان می‌دهد که پیش‌بینی کمی ویژگی‌های فیزیکی و مکانیکی توسط متغیرهای سنگ‌شناسی، امکان‌پذیر است. این متغیرهای مستقل، صرفاً پیش‌بینی کننده‌هایی برای کنگلومراهای مورد مطالعه می‌باشند و استفاده از روابط پیش‌بینی کننده بدست آمده، برای کنگلومراهای دیگر مناطق توصیه نمی‌شود.

## ۶. نتیجه‌گیری

- در میان ۱۸ ویژگی سنگ‌شناسی بررسی شده در این پژوهش، آرایش هم‌جوار، آرایش چگالی، گردش‌گی دانه‌ها، زاویه‌دار بودن دانه‌ها، میانگین اندازه دانه‌ها و درصد سیمان، همبستگی قابل توجهی با ویژگی‌های مهندسی سنگ‌ها نشان می‌دهند.
- از ویژگی‌های کانی‌شناسی کنگلومراهای مورد مطالعه، تنها درصد سیمان با ویژگی‌های مهندسی (مقاومت فشاری تک‌محوری، مقاومت بار نقطه‌ای و مدول الاستیسیته) رابطه‌ای معناداری دارد. بین ویژگی‌های کانی‌شناسی و چگالی خشک و اشباع و تخلخل ارتباطی وجود ندارد. این تحقیق نشان می‌دهد که مشخصه‌های بافتی برای پیش‌بینی ویژگی‌های مهندسی، مهم‌تر از مشخصه‌های کانی‌شناسی می‌باشد.
- روش رگرسیون چندمتغیره گام به گام برای توسعه مدل‌های پیش‌بینی کننده چندجمله‌ای استفاده شده است تا روابط پیش‌بینی کننده با انتخاب برخی ویژگی‌های سنگ‌شناسی که همبستگی معناداری با ویژگی‌های مهندسی

## منابع

- آدابی، م.ح، ۱۳۶۶. سنگ‌های رسوبی شیمیایی - بیوشیمیایی. انتشارات آستان قدس رضوی، ۴۴ ص.
- آفتابی، س.ع، ۱۳۸۵. زمین‌شناسی ایران. سازمان زمین‌شناسی و اکتشافات معدنی کشور، چاپ دوم، ۵۸۶ ص.
- اهری پور، ر، مصدق، ح، ۱۳۸۵. مبانی رسوب‌شناسی. انتشارات سازمان آموزشی فرهیختگان علوی.
- بلورچی، م.ح، ۱۳۵۸. نقشه زمین‌شناسی کبودراه‌نگ، مقیاس ۱:۲۵۰۰۰۰. سازمان زمین‌شناسی و اکتشافات معدنی کشور.
- پروین، ح، ۱۳۸۵. سنگ‌شناسی رسوبی. انتشارات دانشگاه پیام نور، چاپ پنجم، ۳۰۲ صفحه.
- سادati، س.م، خدابخش، س، محسنی، ح، ۱۳۸۴. واحدهای سنگی الیگومیوسن در شمال زون سنندج - سیرجان: مطالعه موردی در شرق و شمال شرق همدان، مجله علوم دانشگاه بوعلی، جلد ۲، شماره ۱، ص ۱۴-۲۲.
- Balan, B., Mohaghegh, S., Ameri, S., 1995. State- of- Art- in permeability determination from well log data:Part 1- A comparative study. Model development. SPE, 30978: 17-25.
- Bell, F.G., 1978a. The physical and mechanical properties of the Fell Sandstones, Northumberland, England. Engineering Geology, 12: 1-29.
- Bell, F.G., 1978b. Petrographical factors relating to porosity and permeability in the Fell Sandstone. Quarterly Journal of Engineering Geology, 11(2): 113-126.
- Deere, D.U., 1968. Geological considerations in rock mechanics in engineering practice (eds. Stagg K.G. and Zienkiewicz, O.C.), Chapter. Practice 1-20. London: John Wiley and Sons.

- Deere, D.U., Miller, R.P., 1966. Engineering classification and index properties for intact rock. U.S. Air Force Systems Command, Air Force Weapons Lab., Kirtland Air Force Base, New Mexicom, Technical Report, AFWL-TR, pp. 65–116.
- Gong, Q.M., Zhao, J., 2009. Development of a rock mass characteristics model for TBM penetration rate prediction. International Journal of Rock Mechanics and Mining Science, 46(1): 8–18.
- Gunes Yilmaz, N., Yurdakul, M., Goktan, R.M., 2007. Prediction of radial bit cutting force in high-strength rocks using multiple linear regression analysis. International Journal of Rock Mechanics and Mining Science, 44(6): 962–970.
- Howarth, D.F. and Rowlands, J.C., 1986. Development of an index to quantify rock texture for qualitative assessment of intact rock properties. Geotechal Testing Journal, 9: 169-179.
- Hutchinson, C.S., 1974. Laboratoary handbook of petrography techniques. Wiley, New York, p 527.
- Kahn, J.S., 1956. The analysis and distribution of the properties of packing in sand size sediments. Journal of Geology, 64: 385–395.
- Pettijohn, F.J., 2000. Sedimentary Rocks. CBS Pup., New Delhi, 628p.
- Sarkar, K., Singh, T.N., Reddy, D.V., 2009. Prediction of strength parameters by dynamic wave. International Journal of Earth Sciences and Engineering, 2(1) :12–19.
- Shakoor, A., and Bonelli, R. E., 1991. Relationship between petrographic charac-teristics engineering index properties and mechanical properties of selected sandstone. Bulletin of the Association of Engineering Geologists, 28 : 55-71.
- Sharma, P.K., Khandelwal, M., Singh, T.N., 2011. A correlation between Schmidt hammer rebound numbers with impact strength index, slake durability index and P-wave velocity. International Journal of Earth Sciences, 100 :189–195.
- Smart, B.D., Rowlands, N. and Isaac, A.K., 1982. Progress towards establishing re-lationships between the mineralogy and physical properties of coal measures rocks. International Journal of Rock Mechanics and Mining Sciences and Geomechanics Abstracts, 19 : 81-89.
- Tamrakar, N.K., Yokota, S., and Shrestha, S.D., 2007. Relationships among me-chanical, physical and petrographic properties of Siwalik sandstones, Central Nepal Sub-Himalayas. Engineering Geology, 90: 105-123.
- Ulusay, R., Gokceoglu, C., Sulukcu, S., 2001. Draft ISRM suggested method for determining block punch strength index (BPI). International Journal of Rock Mechanics and Mining Sciences, 38 :1113–1119.
- Ulusay, R., Tureli, K., and Ider, M.H., 1994. Prediction of engineering properties of a selected litharenite sandstone from its petrographic characteristics using correla-tion and multivariable statistical techniques. Engineering Geology, 37 : 135-157.
- Zorlu, K., Gokceoglu, C., Ocakoglu, F., Nefeslioglu, H.A., Acikalin, S., 2008. Prediction of uniaxial compressive strength of sandstones using petrography-based models. Engineering Geology, 96: 141–158.